

セメント濁水のpH調整における2.3の考察

柳 鴻池組 正員 国松勝一

・ ・ ・ ○ 吉田清司

・ ・ ・ 川西順次

1. まえがき

建設工事等から発生する廃泥水処理はSS処理と共にpH調整を必要とする場合が多く、その調整方法には様々なものがあるが、操作が簡単でしかも経済的なON-OFF制御方式が多く利用されている。現在pH調整における水槽設備の構成は一般に、pH調整槽及びpHを均一安定化させる滞留槽より成っているが、滞留槽容積はpH調整槽に比べて数倍の大きさを有し、pH調整設備容積に占める割合を軽視することができない。したがって滞留槽容積を小さくすることはpH調整における設備費や設置スペース等の問題を解決する1つの方法であると言える。筆者等は中和剤に硫酸を、調整方法にON-OFF制御方式を用いてセメント上澄水のpH調整を行い、滞留槽内のpH分布を調べた結果、若干の知見を得たので報告する。

2. 実験装置

図-1にpH調整装置を、図-2に滞留槽内のpH測定水サンプリング位置(×印)を示す。装置は被検液流量を測定する流量計(FM)、被検液と中和剤を混ぜるpH調整槽(1.6m<sup>3</sup>)、pH調整槽搅拌机1.5Kw、350RPM、プロペラ径350mm、3枚翼一段、搅拌強度G=30.6Sec<sup>-1</sup>、pH電極、pH調節計(ON-OFF制御)、硫酸貯槽(2.3% H<sub>2</sub>SO<sub>4</sub>)、硫酸調整弁(MV)、滞留槽及びpH測定水サンプリングチューブ(内径5mm)から成っている。

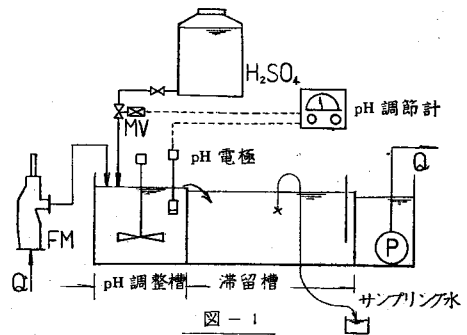


図-1

3. 実験方法

被検液にはセメント上澄水(水槽に普通ポルトランドセメントを投入し搅拌机で搅拌した後、一昼夜静置したもの)を使用し、pH調整槽にて自動的に硫酸を滴下中和したオーバーフロー水の滞留槽内pHを測定した。滞留槽内のpH測定ポイントを図-2の様に設定し、A、B、C列(深さ方向a、b、c各3点)合計27点のpH測定を経時的に行つた。pH測定サンプリング時間は被検液量に限度があり

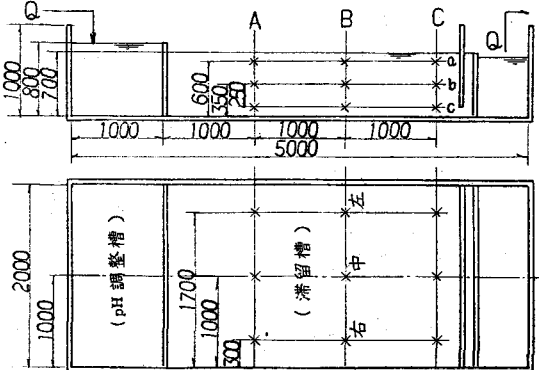


図-2

、Q1=14m<sup>3</sup>/Hの場合、0~30分、Q2=31m<sup>3</sup>/Hの場合、0~17.5分とした。

4. 実験結果及び考察

表-1, 表-2, 表-3は原水pH=11.50, 処理流量Q1=1.4 ml/Hを, 表-4, 表-5, 表-6は原水pH=11.88, 処理流量Q2=31ml/Hを中和処理したときの滞留槽内pH分布を示したもので、表中( )のない値は表-1, 2, 3について、pH調整開始後A断面10分, B断面15分, C断面20分、( )内の値はA, B, C断面ともに30分経過したときのpHを、又、表4, 5, 6( )のない値はA断面5分, B断面およびC断面10分、( )内の値はA, B, C断面ともに17.5分経過したときのpHを示したものである。表中A1, B1, C1等の記号は図-3のサンプリングポイント記号に対応する図-4, 5は3測定点について時間毎にpHをプロットしたものである。A, B, C断面におけるpH分布の測定範囲及び変動幅 $\sigma$  ( $=pH_{max}-pH_{min}$ )を測定時間と無関係に整理すると、Q1=1.4 ml/Hの場合A断面6.73~7.40,  $\sigma A1=0.67$ , B断面6.97~7.30,  $\sigma B1=0.33$ , C断面6.90~7.25,  $\sigma C1=0.35$ , Q2=31 ml/Hの場合、A断面7.62~8.49,  $\sigma A2=0.87$ , B断面7.80~8.40,  $\sigma B2=0.60$ , C断面=7.75~8.40,  $\sigma C2=0.65$ を示し、A, B, C断面によるpHの顕著な差異は認められないが、A断面におけるpH変動はB, C断面より大きい。Q1, Q2のpH調整槽における滞留時間T ( $=V/Q$ : V: pH調整槽容積, Q: 処理流量)を求めると、 $TQ1=6.9$ 分,  $TQ2=3.1$ 分であり、Q2のpH調整精度はQ1の約1/2になっている。Q1の測定pHに比べてQ2の測定pHが高いのは原水pH処理流量ともにQ2の方が大きくpH調整の硫酸滴下タイミングの違いからpHの値が高く調整されたものと考えられる。

5. あとがき

今回の実験装置では、pH調整槽の処理水滞留時間が最小3分程度しかとれなかつたが、pH分布測定の結果、pH調整槽の攪拌を十分にを行い、pH放流基準に照し合わせた場合、滞留槽の大きさは非常に小さくてできることが判つた。今後、処理水のpH調整槽滞留時間、攪拌強度、調整pH等との関係について実験研究を進めていく次第である。

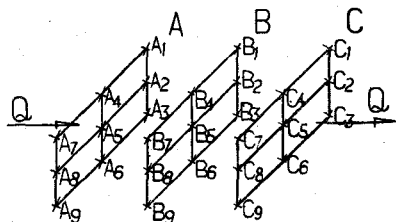


図-3

A断面

A <sub>1</sub> (7.24)	A <sub>4</sub> (7.16)	A <sub>7</sub> (7.40)
A <sub>2</sub> (7.02)	A <sub>5</sub> (7.13)	A <sub>8</sub> (7.29)
A <sub>3</sub> (7.12)	A <sub>6</sub> (7.07)	A <sub>9</sub> (7.28)

表-1

B断面

B <sub>1</sub> (7.22)	B <sub>4</sub> (7.10)	B <sub>7</sub> (7.20)
B <sub>2</sub> (7.20)	B <sub>5</sub> (7.10)	B <sub>8</sub> (7.20)
B <sub>3</sub> (7.20)	B <sub>6</sub> (7.10)	B <sub>9</sub> (7.30)

表-2

C断面

C <sub>1</sub> (7.13)	C <sub>4</sub> (7.21)	C <sub>7</sub> (7.18)
C <sub>2</sub> (7.11)	C <sub>5</sub> (7.19)	C <sub>8</sub> (7.21)
C <sub>3</sub> (7.21)	C <sub>6</sub> (7.25)	C <sub>9</sub> (7.21)

表-3

A断面

A <sub>1</sub> (8.03)	A <sub>4</sub> (7.98)	A <sub>7</sub> (8.10)
A <sub>2</sub> (8.23)	A <sub>5</sub> (8.08)	A <sub>8</sub> (8.19)
A <sub>3</sub> (8.33)	A <sub>6</sub> (8.35)	A <sub>9</sub> (8.45)

表-4

B断面

B <sub>1</sub> (8.28)	B <sub>4</sub> (8.23)	B <sub>7</sub> (8.22)
B <sub>2</sub> (8.10)	B <sub>5</sub> (8.15)	B <sub>8</sub> (8.38)
B <sub>3</sub> (8.20)	B <sub>6</sub> (8.20)	B <sub>9</sub> (8.23)

表-5

C断面

C <sub>1</sub> (8.39)	C <sub>4</sub> (8.30)	C <sub>7</sub> (8.30)
C <sub>2</sub> (8.10)	C <sub>5</sub> (8.25)	C <sub>8</sub> (8.23)
C <sub>3</sub> (8.10)	C <sub>6</sub> (8.29)	C <sub>9</sub> (8.30)

表-6

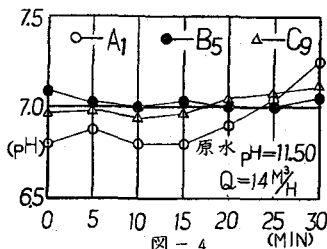


図-4

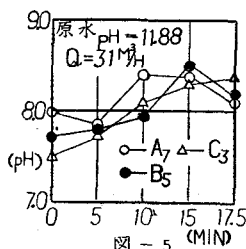


図-5